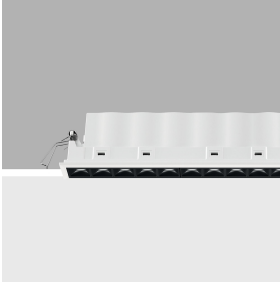


Dernière mise à jour des informations: Février 2025

Configuration du produit: RA81

RA81: Frame 15 cellules - Flood beam - LED



Référence produit

RA81: Frame 15 cellules - Flood beam - LED

Description technique

Appareil miniaturisé encastrable linéaire à 15 éléments optiques pour sources LED - optiques fixes. Malgré les dimensions extrêmement réduites du produit, la technologie brevetée du système optique garantit un flux efficace et un confort visuel élevé, à éblouissement contrôlé. Corps principal à surface rayonnante en aluminium moulé sous pression, version avec cadre de finition. Réflecteurs Opti Beam à haute définition en matière thermoplastique métallisée, intégrés en position renfoncée dans l'écran anti-éblouissement. L'appareil est fourni avec l'unité d'alimentation DALI pré-raccordée.

Installation

À encastrer avec ressorts en fil d'acier pour faux-plafonds de 1 à 25 mm - ouverture de préparation 24 x 276

Couleurs

Blanc (01) | Noir/Noir (43) | Blanc/Noir (47) | Blanc/Or (41)* | Gris/Noir (74)* | Blanc / chrome bruni (E7)*

Poids (Kg)

0.75

* Couleurs sur demande

Montage

encastré mural|encastré au plafond

Câblage

Sur l'unité d'alimentation avec bornier compris.

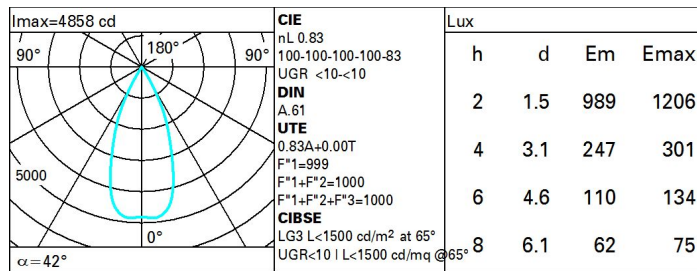
Conforme à la norme EN60598-1 et à la réglementation en vigueur (o' à la réglementation relative)



Données techniques

| | | | |
|--|------|--------------------------------------|---------------------------------|
| Im du système: | 2366 | Température de couleur [K]: | 3500 |
| W du système: | 33.8 | MacAdam Step: | 2 |
| Im source: | 2850 | Durée de vie LED 1: | > 50,000h - L80 - B10 (Ta 25°C) |
| W source: | 30 | Voltage [V]: | 230 |
| Efficacité lumineuse (lm/W, valeurs du système): | 70 | Code Lampe: | LED |
| Im en mode secours: | - | Nombre de lampes par groupe optique: | 1 |
| Flux total émis à un angle de 90° ou plus [Lm]: | 0 | Code ZVEI: | LED |
| Light Output Ratio (L.O.R.) [%]: | 83 | Nombre de groupes optiques: | 1 |
| Angle d'ouverture [°]: | 43° | Control: | DALI-2 |
| IRC (minimum): | 90 | | |

Polaire



Coefficients d'utilisation

| | | | | | | | | | |
|------|----|----|----|----|----|----|----|----|-----|
| R | 77 | 75 | 73 | 71 | 55 | 53 | 33 | 00 | DRR |
| K0.8 | 75 | 71 | 68 | 66 | 70 | 68 | 68 | 65 | 78 |
| 1.0 | 78 | 75 | 72 | 70 | 74 | 72 | 71 | 69 | 83 |
| 1.5 | 82 | 80 | 77 | 76 | 79 | 77 | 76 | 74 | 89 |
| 2.0 | 85 | 83 | 81 | 80 | 82 | 80 | 79 | 77 | 93 |
| 2.5 | 86 | 85 | 84 | 83 | 84 | 83 | 82 | 79 | 96 |
| 3.0 | 87 | 86 | 85 | 85 | 85 | 84 | 83 | 81 | 98 |
| 4.0 | 88 | 87 | 87 | 86 | 86 | 86 | 84 | 82 | 99 |
| 5.0 | 89 | 88 | 88 | 88 | 87 | 87 | 85 | 83 | 100 |

Courbe limite de luminance

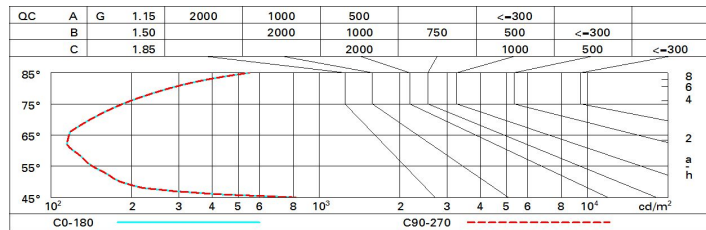


Diagramme UGR

| Corrected UGR values (at 2850 lm bare lamp luminous flux) | | | | | | | | | | | |
|---|------|------------------|------|------|------|------|----------------|------|------|------|------|
| Reflect.: | | viewed crosswise | | | | | viewed endwise | | | | |
| ceil/cav | | 0.70 | 0.70 | 0.50 | 0.50 | 0.30 | 0.70 | 0.70 | 0.50 | 0.50 | 0.30 |
| walls | | 0.50 | 0.30 | 0.50 | 0.30 | 0.30 | 0.50 | 0.30 | 0.50 | 0.30 | 0.30 |
| work pl. | | 0.20 | 0.20 | 0.20 | 0.20 | 0.20 | 0.20 | 0.20 | 0.20 | 0.20 | 0.20 |
| Room dim | | | | | | | | | | | |
| x | y | | | | | | | | | | |
| 2H | 2H | 7.3 | 7.8 | 7.6 | 8.0 | 8.3 | 7.3 | 7.8 | 7.6 | 8.0 | 8.3 |
| | 3H | 7.2 | 7.6 | 7.5 | 7.9 | 8.2 | 7.2 | 7.6 | 7.5 | 7.9 | 8.2 |
| | 4H | 7.1 | 7.5 | 7.5 | 7.8 | 8.1 | 7.1 | 7.5 | 7.5 | 7.8 | 8.1 |
| | 6H | 7.1 | 7.4 | 7.4 | 7.7 | 8.1 | 7.1 | 7.4 | 7.4 | 7.7 | 8.1 |
| | 8H | 7.0 | 7.4 | 7.4 | 7.7 | 8.0 | 7.0 | 7.4 | 7.4 | 7.7 | 8.0 |
| | 12H | 7.0 | 7.3 | 7.4 | 7.7 | 8.0 | 7.0 | 7.3 | 7.4 | 7.7 | 8.0 |
| 4H | 2H | 7.1 | 7.5 | 7.5 | 7.8 | 8.1 | 7.1 | 7.5 | 7.5 | 7.8 | 8.1 |
| | 3H | 7.0 | 7.3 | 7.4 | 7.7 | 8.0 | 7.0 | 7.3 | 7.4 | 7.7 | 8.0 |
| | 4H | 6.9 | 7.2 | 7.3 | 7.6 | 7.9 | 6.9 | 7.2 | 7.3 | 7.6 | 7.9 |
| | 6H | 6.8 | 7.1 | 7.2 | 7.5 | 7.9 | 6.8 | 7.1 | 7.2 | 7.5 | 7.9 |
| | 8H | 6.8 | 7.0 | 7.2 | 7.4 | 7.9 | 6.8 | 7.0 | 7.2 | 7.4 | 7.9 |
| | 12H | 6.7 | 7.0 | 7.2 | 7.4 | 7.8 | 6.7 | 6.9 | 7.2 | 7.4 | 7.8 |
| 8H | 4H | 6.8 | 7.0 | 7.2 | 7.4 | 7.9 | 6.8 | 7.0 | 7.2 | 7.4 | 7.9 |
| | 6H | 6.7 | 6.9 | 7.1 | 7.3 | 7.8 | 6.7 | 6.9 | 7.1 | 7.3 | 7.8 |
| | 8H | 6.6 | 6.8 | 7.1 | 7.3 | 7.8 | 6.6 | 6.8 | 7.1 | 7.3 | 7.8 |
| | 12H | 6.6 | 6.7 | 7.1 | 7.2 | 7.7 | 6.6 | 6.7 | 7.1 | 7.2 | 7.7 |
| 12H | 4H | 6.7 | 6.9 | 7.2 | 7.4 | 7.8 | 6.7 | 7.0 | 7.2 | 7.4 | 7.8 |
| | 6H | 6.6 | 6.8 | 7.1 | 7.3 | 7.8 | 6.6 | 6.8 | 7.1 | 7.3 | 7.8 |
| | 8H | 6.6 | 6.7 | 7.1 | 7.2 | 7.7 | 6.6 | 6.7 | 7.1 | 7.2 | 7.7 |
| Variations with the observer position at spacing: | | | | | | | | | | | |
| S = | 1.0H | 7.0 / -14.5 | | | | | 7.0 / -14.5 | | | | |
| | 1.5H | 9.8 / -14.7 | | | | | 9.8 / -14.7 | | | | |
| | 2.0H | 11.8 / -14.8 | | | | | 11.8 / -14.8 | | | | |